

# Hash-tree 反碰撞算法

张虹, 韩磊, 马海波

(中国矿业大学计算机学院, 徐州 221008)

**摘要:** 针对 EDFSA 算法标签识别效率低以及二叉树搜索需检测碰撞准确位置等问题, 提出了 Hash-tree 反碰撞算法。分析了算法的关键问题, 确定了算法策略, 进行了算法设计, 证明了 Hash-tree 反碰撞算法识别效率期望值在 36.8%~100%之间, 优于 EDFSA 算法。仿真验证表明, 该算法在识别效率方面有新突破, 特别是在识别大量标签时优势明显。

**关键词:** 标签碰撞; 反碰撞; 无线射频识别技术(RFID); Hash

## Hash-tree Anti-collision Algorithm

ZHANG Hong, HAN Lei, MA Hai-bo

(School of Computer & Technology, China University of Mining and Technology, Xuzhou 221008)

**【Abstract】** Against the low efficiency in identifying tags by EDFSA and a demand for testing the precise location of anti-collision by binary tree search, a novel anti-collision algorithm based on Hash-tree is presented. By analyzing key problems of the algorithm and making a strategic plan for it, rate of identifying tags with the algorithm is expected to reach between 36.8% and 1, which outperforms EDFSA. Simulation results show that the algorithm is outstanding in tag identification, especially when dealing with large amounts of tags.

**【Key words】** tag-collision; anti-collision; radio frequency identification(RFID); Hash

无线射频识别技术(radio frequency identification, RFID)是一种非接触的自动识别技术, 出现于 20 世纪 40 年代, 发展于 80 年代。它以 RF 便携集成电路为载体, 通过电磁传播、存储、检索数据。RFID 系统一般由电子标签和阅读器组成。阅读器负责发送广播并接收标签发送的标识信息; 标签收到广播命令后将自身标识信息发送给阅读器。两个或者两个以上的标签在同一时刻向阅读器发送标识信息时, 将产生冲突, 解决冲突的方法称为反碰撞算法<sup>[1]</sup>。

反碰撞算法决定标签识别效率, 影响 RFID 系统性能。EPCglobal 组织提出了基于位的二叉树算法和基于 ALOHA 的算法, ISO 组织制定了自适应协议和二叉树搜索算法<sup>[2]</sup>, ISO 的自适应协议和 EPCglobal 的基于 ALOHA 算法非常相似。基于位的反碰撞算法需要阅读器检测数据碰撞比特位的准确位置, 有一定局限性。诸多学者对基于 ALOHA 的反碰撞算法做了改进, 效果明显的是文献[3]提出的 EDFSA 反碰撞算法, 其标签识别效率期望值可达到 34.6%~36.8%之间。随着 RFID 技术应用领域的不断扩大和用户的急剧增加, 碰撞概率大大提高, 34.6%~36.8% 的识别效率成为 RFID 系统的瓶颈。为此, 本文提出了 Hash-tree 反碰撞算法, 使 RFID 系统标签识别效率进一步提高。

### 1 Hash-tree 反碰撞算法

#### 1.1 相关概念

(1) 时隙(slot)

标签和阅读器的交互在特定时间片内完成, 这个时间片称为时隙。只有一个标签发送信息的时隙称为唯一时隙, 同理, 多个和没有标签发送信息的时隙分别称为碰撞时隙和空时隙。

(2) 帧(frame)

阅读器发送完命令后, 等待一组时隙接收标签信息, 这

组时隙构成一帧, 时隙数称为帧长度。文中用三元组  $\langle c_0, c_1, c_k \rangle$  表示一帧中空时隙数、唯一时隙数、碰撞时隙数,  $L$  表示帧长度。

(3) Hash 运算

Hash 运算通常完成从一个数据集合到另一个数据集合的映射。本文通过 Hash 运算完成从标签 ID 集合到帧时隙的映射。

(4) Hash-tree 反碰撞算法

Hash-tree 反碰撞是本文提出的算法。标签通过 Hash 运算选择特定时隙发送自身标识信息, 对于碰撞标签, 阅读器按树形结构, 通过深度搜索碰撞时隙完成对识别域内所有标签的识别, 因此, 本文称该算法为 Hash-tree 反碰撞算法。

#### 1.2 关键问题解析

反碰撞算法的实质是减少标签碰撞。理想情况是: 帧长度和出现在阅读器识别域内的标签数基本相等, 并且标签能够均匀地分布在不同时隙发送信息。另外, 算法应能够进一步识别发生碰撞的标签。于是, 标签时隙分配、帧长度调整以及搜索参数选择是 Hash-tree 反碰撞算法的关键问题。

(1) 时隙分配问题

本文算法标签通过 Hash 运算选择帧时隙, 而不是随机选择时隙。本文选用式(1)所示的 Hash 函数解决时隙分配问题。

$$\text{Hash}(key) = (\lfloor key/w \rfloor) \% L \quad (1)$$

其中,  $key$  表示标签的关键码;  $w$  为阅读器发送给标签的正整数; 为保证分配效果, 帧长度  $L$  一般取质数。例如, 若某标签的关键码  $key$  为 12345, 阅读器发送给标签的  $w$ 、 $L$  值分别

**基金项目:** 江苏省自然科学基金资助项目(BK2005021)

**作者简介:** 张虹(1942-), 女, 教授、博士生导师, 主研方向: 自动化, 软件工程; 韩磊, 硕士研究生; 马海波, 副教授

**收稿日期:** 2006-10-30 **E-mail:** hongzh@cumt.edu.cn

为 59、19，根据式(1)得 Hash(key)等于 0，即关键码为 12345 的标签选择第 0 时隙发送数据。

### (2) 帧长度调整问题

根据前一帧的识别情况，估计标签数目，动态调整后一帧的帧长度可有效提高标签识别效率。通常有 3 种估计标签数的方法：(1)用公式  $2c_k + c_1 + \xi$  估计 ( $\xi$  表示修正值)<sup>[4]</sup>；(2)用  $2.392 2c_k$  估计<sup>[5]</sup>；(3)用碰撞比例  $c_k/L$  估计<sup>[3]</sup>。

Hash-tree 反碰撞算法解决帧长度调整问题的策略是：当  $L < 2.392 2c_k L_{MAX}$  时，下一帧的帧长度改变为  $Prime(2 \times L)$ ，此时，下一帧称为扩展帧，当前帧是下一帧的原始帧；否则，以  $Little(L)$  为帧长度开始深度搜索，当前帧称为下一帧的父帧，下一帧称为当前帧的子帧。符号含义见表 1。

表 1 算法符号说明

| 符号名称                             | 意义                                  |
|----------------------------------|-------------------------------------|
| Little(x)                        | 取不大于 x 的质数(无更小的时，取相等)               |
| Generate_queue()                 | 当前帧的碰撞时隙队列                          |
| Slot(f)                          | 取第 f 帧的 Squ 的队首元素，队列为空时，Slot(f)返回-1 |
| deleteSlot(f)                    | 删除第 f 帧的 Squ 的队首元素                  |
| Len(f)                           | 第 f 帧的帧长度                           |
| Weight(f)                        | Table 中帧号从 0 到 f 的所有行 w 值乘积         |
| Prime(x)                         | 与 x 最接近的质数(如两个，则取较大者)               |
| SetFlag(f)                       | 将 Table 第 f 帧的 Flag 置 1             |
| Flag(f)                          | 返回第 f 帧的 Flag 标志                    |
| Add_recorder(f, w, L, squ, flag) | 向 Table 中添加记录 [f w L squ flag]      |
| delete(f)                        | 删除 Table 帧号为 f 的记录                  |
| $L_{MAX}$                        | 系统允许的最大帧长度                          |

### (3) 搜索参数选择问题

Hash-tree 反碰撞算法通过递归搜索碰撞时隙，识别碰撞标签。递归搜索时，必须适当改变搜索参数，使父帧映射到同一时隙的标签尽可能映射到子帧的不同时隙。

由逆推法知，碰撞标签的关键码的差别是包含不同数目的  $w \times L$ ，所以，参数 w 的选择原则是：子帧的 w 值是父帧 w 与 L 的乘积。值得说明的是，算法的极限情况为 w 为 2 的 n 次幂(n 取自然数)，L 为 2，相当于比较两个关键码的每一位，不相等的两个数至少有一位不等，所以，递归搜索可以返回。

## 1.3 Hash-tree 算法设计

### (1) 通信协议设计

阅读器向标签发送命令字 Command(w, L, f, s)，其中，f, s 用作标签选择，分别表示帧号、时隙号；w, L 用作被选标签 Hash 运算的参数。标签收到命令后，根据自身变量  $f_{tag}$  (帧号) 和  $s_{tag}$  (时隙号) 决定是否或何时响应，原则是：若 s 等于 -1，则  $f_{tag}$  等于 f 或 -1 的标签响应；s 大于 -1 时，只有  $f_{tag}$  等于 f 且  $s_{tag}$  等于 s 的标签响应。阅读器收到标签响应后，发送确认。标签收到确认进入休眠状态，称为已读标签。

### (2) 数据结构设计

二维表 Table[Num W F Len Squ Flag]：阅读器用该表记录帧信息。其中，各列分别表示帧号、w 值、帧长度、碰撞时隙队列、原始帧标志。

阅读器以树形深度搜索标签，当  $c_k = 0$  时，递归返回，当  $L < 2.3922c_k \leq L_{MAX}$  时，搜索扩展帧，当  $2.3922c_k \leq L$  时，搜索子帧。递归方程如式(2)：

$$HashTree(f) = \begin{cases} return & c_k = 0 \\ HashTree(f+1, extend) & L < 2.3922c_k \leq L_{MAX} \\ HashTree(f+1, child) & 2.3922c_k \leq L \end{cases} \quad (2)$$

### (3) 算法描述

表 1 给出有关的符号说明。下面从阅读器和标签两部分

描述算法，如图 1 和图 2 所示。

```
void HashTree(int L, int w, int f, int s) {
    Command(w, L, f, s);
    SQU squ = Generate_queue(); // 生成碰撞时隙队列
    Add_recorder(f, w, L, squ, 0);
    if (!c_k) {
        delete(f);
        if (Flag(--f)) delete(f);
        else {
            deleteSlot(f);
            if (Slot(f) == -1) delete(f);
        }
        return;
    }
    else if (2.3922c_k >= L && 2.3922c_k <= L_MAX) {
        SetFlag(f);
        HashTree(Prime(2*L), 1, ++f, -1);
    }
    else {
        if (Len(f) > 5) L = 5; else L = Little(Len(f));
        HashTree(L, Len(f)*Weight(f), ++f, Slot(f));
    }
}
```

图 1 阅读器核心算法

```
STEP1:  $f_{tag} = s_{tag} = -1$ ;
STEP2: 接收命令 (w, L, f, s);
STEP3: if (s == -1) { 根据式(1)计算  $s_{tag}$ ; 在第  $s_{tag}$  时隙发送数据; }
        else { if (f ==  $f_{tag}$ ) { 根据式(1)计算  $s_{tag}$ ; 在第  $s_{tag}$  时隙发送数据; } }
STEP4: if (收到阅读器确认) {
        不再响应同一阅读器的请求; 算法结束; }
        else {  $f_{tag}++$ ; goto STEP2; }
```

图 2 标签算法流程

## 2 算法验证分析

从标签识别效率和标签识别时间两方面分析本文算法与文献[3]中 EDFSA 算法的性能差异；分析标签识别效率的评价模型，证明了本文算法识别效率期望值超越了 36.8% 界限；在仿真环境下，验证两种算法在标签识别时间上的不同。

### 2.1 识别效率分析比较

本节采用文献[3]的算法性能评价标准，定义标签识别效率  $\alpha$ ，如式(3)所示。

$$\alpha = \frac{c_1}{L} \times 100\% \quad (3)$$

下面公式中，用 n 表示出现在阅读器识别域内的实际标签数目；m 表示整个标签关键码空间； $p_k$  表示同一时隙被 k 个标签占有的概率； $a_k$  表示被 k 个标签占有的时隙数的期望值。在概率论中可以用  $a_1$  估计  $c_1$ ，于是系统效率期望值  $\eta$  可用式(4)表示。

$$\eta = E(\alpha) = \frac{a_1}{L} \times 100\% \quad (4)$$

本文运用 Hash 运算将标签映射到帧时隙内，第 1 帧 w 为 1，相当于将标签关键码空间分为 L 组，每组有 m/L 个标签。k 个标签占有同一时隙的情况是由于 m/L 个标签中有 k 个标签随机出现在阅读器识别区域内而产生的，因此，第 1 帧  $p_k$  表达式为式(5)。由搜索参数改变原则知，以后的各帧关键码空间将不断缩小，其效率问题可从讨论第 1 帧效率函数特性而得到。

$$p_k = \binom{m/L}{k} (L/m)^k (1-L/m)^{m/L-k} \quad (5)$$

由式(4)、式(5)得

$$\eta = a_1/L = L^2 p_1 = (1-L/m)^{m/L-1}$$

令  $r = L/m$ ，则

$$\eta = (1-r)^{1/r-1} \quad (6)$$

式(6)求导得

$$\frac{d\eta}{dr} = \frac{(1-r)[-r - \ln(1-r)]}{r^2(1-r)} e^{(1/r-1)\ln(1-r)} \quad (7)$$

由麦克劳林公式,  $-r = \ln e^{-r} \approx \ln(1-r+r^2/2)$ , 化简式(7)得

$$\frac{d\eta}{dr} = \frac{(1-r)[\ln(1-r+r^2/2) - \ln(1-r)]}{r^2(1-r)} e^{(1/r-1)\ln(1-r)} > 0 \quad (0 < r \leq 1) \quad (8)$$

$$\lim_{r \rightarrow 0} \eta = \lim_{r \rightarrow 0} (1-r)^{1/r-1} = e^{-1} = 36.8\% \quad (9)$$

式(8)、式(9)说明,  $\eta$  单调递增, 当  $r$  趋近于 0 时,  $\eta$  有最小极限值 36.8%。也就是说, 当帧长度远小于标签密钥空间时, 识别效率期望值为 36.8%, 随着帧长度与标签密钥空间的比例增大, 识别效率随之增加。

假设第 2 帧是对碰撞时隙的深度搜索, 不是第 1 帧的扩展帧, 那么按照帧长度调整策略, 第 2 帧的  $w$  值应等于第 1 帧的帧长度  $L$ , 帧长度设为  $L'$ , 于是  $p_k, \eta$  表达式如式(10)、式(11):

$$p_k = \left(\frac{m}{LL'}\right) \left(\frac{LL'}{m}\right)^k \left(1 - \frac{LL'}{m}\right)^{\frac{m}{LL'} - k} \quad (10)$$

$$\eta = L' p_1 / L = \left(1 - \frac{LL'}{m}\right)^{\frac{m}{LL'} - 1} \quad (11)$$

显然,  $\frac{LL'}{m} > \frac{L}{m}$ , 前面已经证明  $\eta$  是  $r$  的单调递增函数, 所以, 第 2 周期的识别效率要高于第 1 周期的识别效率。同理, 随着帧号的增大, 标签识别效率期望值逐步提高, 总体识别效率期望值在 36.8%~1 之间。

EDFSA 算法运用帧长度  $L$  和标签数  $n$  趋于相等时, 系统有最大识别效率 36.8% 的原理<sup>[3]</sup>, 用分组方式使标签识别效率稳定在 34.6%~36.8% 之间。

## 2.2 识别时间仿真比较

根据 EDFSA 算法和 Hash-tree 反碰撞算法的基本思想, 编写了仿真程序。在仿真环境下, EDFSA 初始帧长度为 10, 两算法最大帧长度为 256 时, 系统识别总时间随着标签数目的变化情况如图 3 所示。当标签数目小于 60 时, EDFSA 算法总体识别时间小于 Hash-tree 反碰撞算法的总体识别时间, 这是因为 Hash-tree 反碰撞算法初始帧长度设为 59, 标签数小于 59 时, 可能浪费时隙。当标签数目大于 60 时, 两种算法的系统总体识别时间与标签数目呈线性关系。这说明两种算法, 在标签数目大于最大帧长度时, 都有分组标签的作用, 限制了响应标签数, 使识别时间与标签数目保持线性关系。但两条曲线的斜率不同, 在标签数目较多时, Hash-tree 反碰

撞算法优于 EDFSA 算法, 这说明 Hash-tree 反碰撞算法有较高的识别效率。

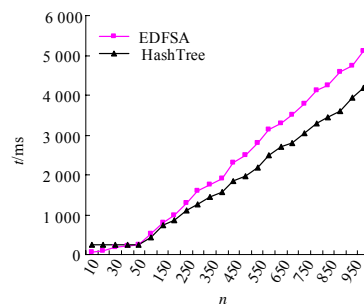


图 3 识别时间  $t$  与标签数目  $n$  的关系

## 3 结束语

针对 EDFSA 算法识别效率期望值仅在 36.8% 内, 造成 RFID 系统的瓶颈问题, 以及在采用位二叉树搜索算法时, 需要阅读器检测碰撞数据比特位的准确位置等不足, 本文提出了 Hash-tree 反碰撞算法。该算法标签识别效率期望值在 36.8%~1 之间, 优于识别效率期望值在 34.6%~36.8% 的 EDFSA 算法。仿真验证表明, 当标签数目大于 60 时, 特别是在标签数目很大时, 该算法表现出明显优势。另外, 本文算法不需要阅读器检测碰撞数据比特位的准确位置, 减少了搜索时间, 简化了 RFID 系统的软件设计。Hash-tree 算法对解决反碰撞问题有理论指导意义, 也势必推动 RFID 系统在矿山跟踪系统、汽车监控、电子支付等领域的应用。

### 参考文献

- 1 余松森, 詹宜巨. 跳跃式动态树形反碰撞算法及其分析[J]. 计算机工程, 2005, 31(9).
- 2 Bawkes P. Anti-collision and Transponder Selection Methods for Grouped "Vicinity" Cards and RFID Tags[Z]. BTG International Ltd., 1999.
- 3 Lee S R, Joo S D, Lee C W. An Enhanced Dynamic Framed Slotted ALOHA Algorithm for RFID Tag[C]//Proceedings of the 2nd Annual International Conference on Mobile and Ubiquitous Systems: Networking and Services. 2005.
- 4 Vogt H. Multiple Object Identification with Passive RFID Tags[C]//Proceedings of the IEEE International Conference on Systems, Man and Cybernetics. 2002-10.
- 5 Cha J R, Kim J H. Novel Anti-collision Algorithms for Fast Object Identification in RFID System[C]//Proceedings of the 11th International Conference on Parallel and Distributed Systems. 2005.

(上接第 66 页)

### 参考文献

- 1 Tierney B, Aydt R, et al. A Grid Monitoring Architecture[R]. Lawrence Berkeley National Laboratory, Tech. Rep.: GFD-I.7, 2002.
- 2 Jennifer M, Foster I. Monitoring and Discovery in a Web Services Framework: Functionality and Performance of the Globus Toolkit's MDS4[R]. Argonne National Laboratory, Tech. Rep.: A NL/MCS-P1248-0405, 2005

- 3 褚瑞, 肖依, 卢锡城. 一种基于 GMA 结构的开放式网格资源信息服务[J]. 计算机研究与发展, 2004, 41(12): 2114-2122.
- 4 Miranda N, Robert S. Grid Computing with Oracle[EB/OL]. (2005-04). [http://www.oracle.com/technology/tech/grid/pdf/gridtechwhitepaper\\_0305.pdf](http://www.oracle.com/technology/tech/grid/pdf/gridtechwhitepaper_0305.pdf).
- 5 DataTAG Project Group. Glue Computing Element Schema[EB/OL]. (2003-03). <http://www.Cnaf.infn.it/~sergio/datatag/glue>.